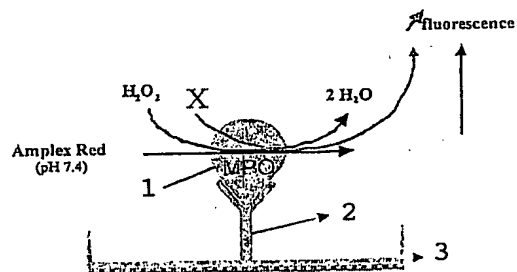
Fig. 1

X: fluorescence  
enhancer

Fig. 2

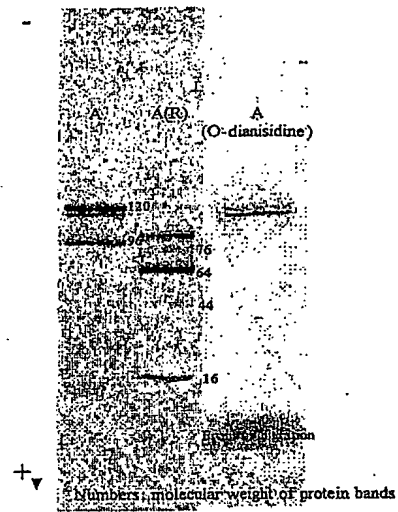


Fig. 3

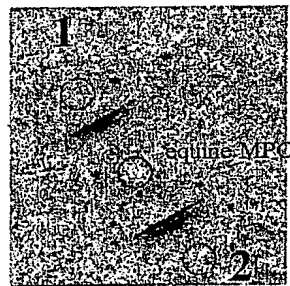


Fig. 4

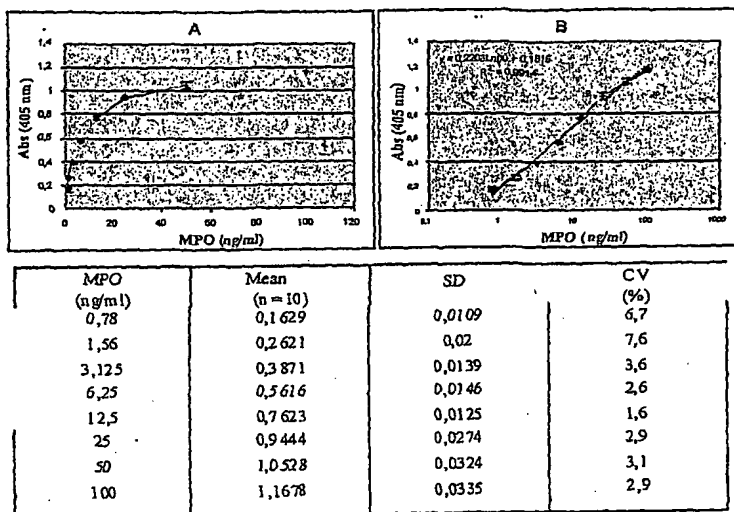


Fig. 5

MPO ng/ml	Mean n= 10	SD	CV %
0,78	0,039	0,01	17,34
1,56	0,114	0,009	7,89
3,125	0,363	0,008	3,04
6,25	0,419	0,022	5,30
12,5	0,701	0,031	4,56
25	0,976	0,019	1,95
50	1,264	0,064	5,06

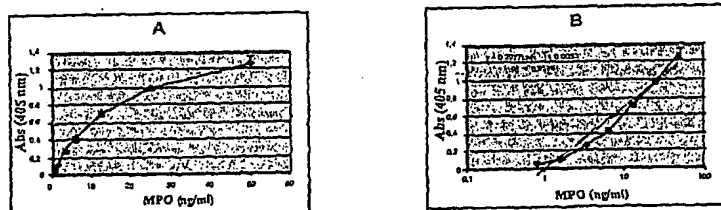
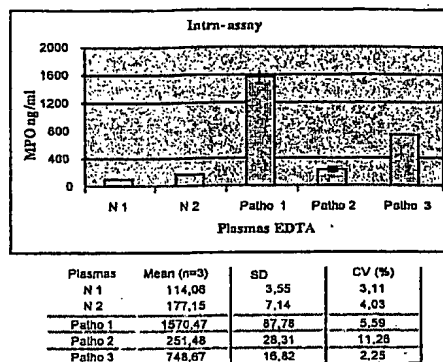
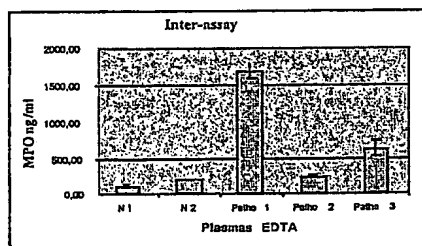
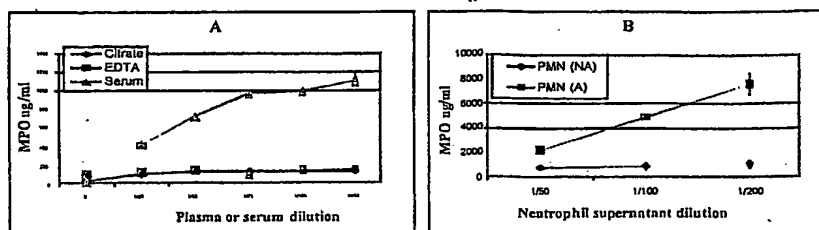


Fig. 6

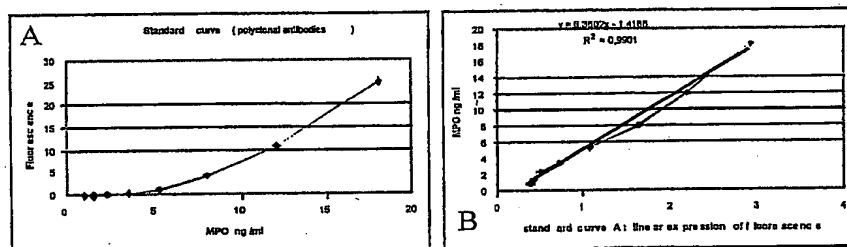
**Fig. 7**

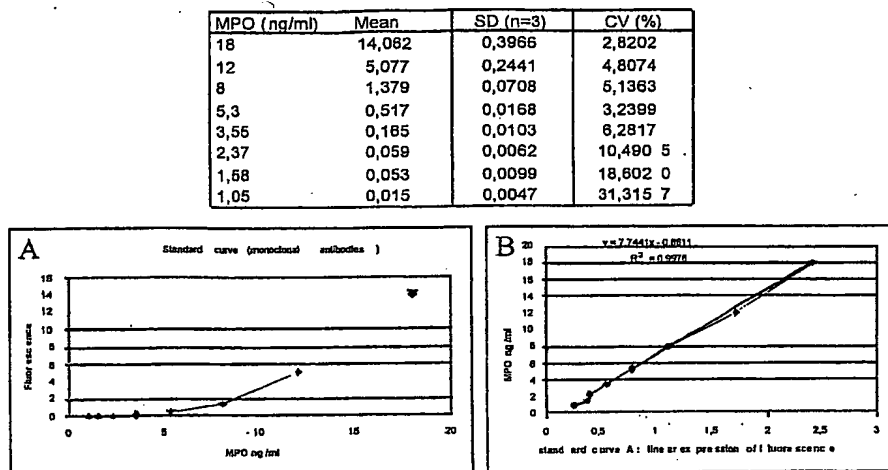
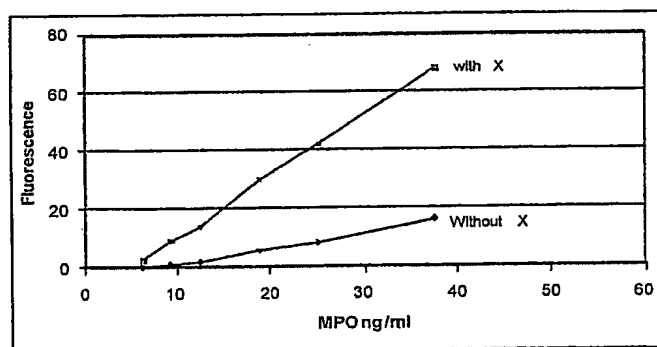
Assay number	N1	N2	Patho 1	Patho 2	Patho 3
1	114,08	177,15	1570,47	251,48	748,67
2	128,42	205,14	1783,12	230,21	558,53
3	128,91	219,88	1703,58	284,28	573,61
Mean	121,80	200,72	1578,05	248,65	626,84
SD	6,81	21,70	99,94	17,20	105,89
CV	5,60	10,81	5,87	6,82	16,86

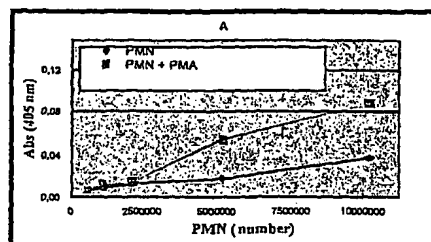
**Fig. 8**

Fig. 9

MPO (ng/ml)	Mean	SD (n=3)	CV (%)
18,00	24,825	0,4850	1,95
12,00	10,585	0,2801	2,65
8,00	4,428	0,4323	9,76
5,30	1,250	0,0683	5,46
3,55	0,392	0,0213	5,43
2,37	0,144	0,0028	1,78
1,58	0,095	0,0041	4,34
1,05	0,060	0,0030	4,89

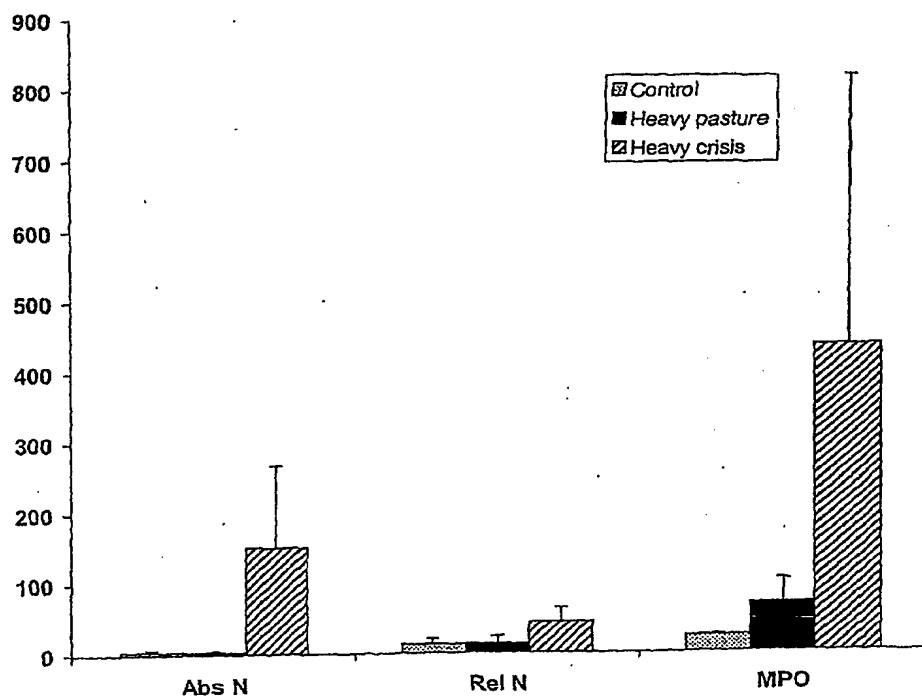
Fig. 10

Fig. 11Fig. 12

Fig. 13

	Active MPO concentration ( ng/ml)		
	Mean	SD	CV (%)
Plasma N			
n=3	1,203	0,063	6,90
n=4	1,564	0,054	3,45
n=4	1,355	0,076	4,89
n=3	1,525	0,019	1,20
n=3	2,193	0,081	3,69
Plasma P			
n=3	3,073	0,325	11,55
n=3	1,442	0,042	2,91
n=2	17,792	1,508	8,48
Sensibil. q. N			
n=3	5,273	0,19	3,60
n=3	2,483	0,224	9,02
n=3	1,652	0,023	1,48
Sensibil. Mq. P			
n=3	8,594	0,633	9,62
n=3	1,297	0,082	4,44
n=3	1,3	0,015	1,00

Fig. 14

Fig. 15



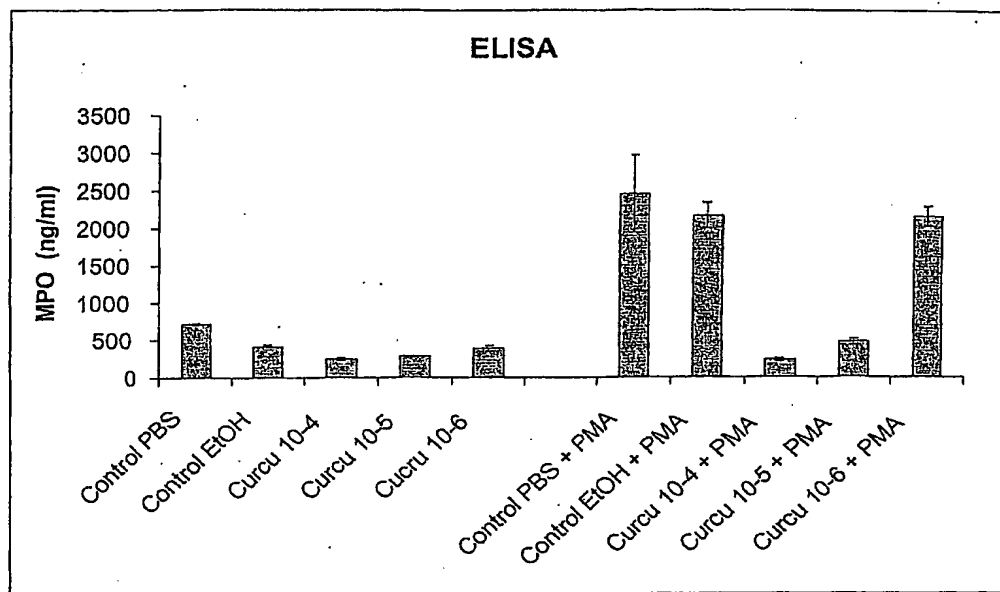
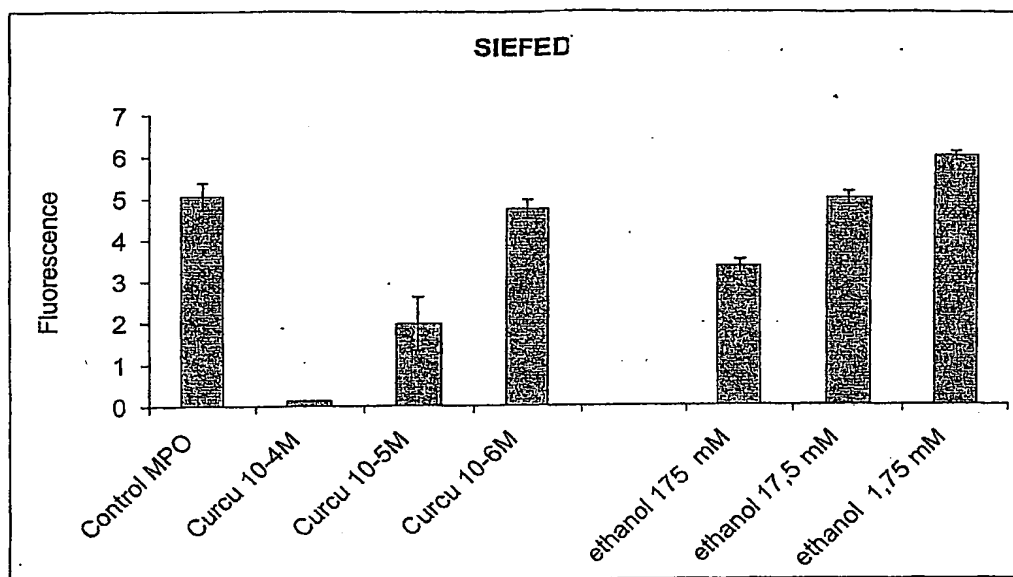


Fig. 16

10/10  
10/10Fig. 17